

МЕТОДИКИ И ПРОГРАММЫ ДЛЯ РАСЧЕТА РАСПРОСТРАНЕНИЯ  
ПОЛИДИСПЕРСНОЙ ПРИМЕСИ В АТМОСФЕРЕ

М.И.Авраменко, Е.С.Андреев, А.П.Васильев, В.Ю.Гусев, М.Ю.Козманов,  
В.Ф.Куропатенко, Е.Б.Рачилов, В.А.Симоненко  
(ВНИИТФ)

Описаны особенности применяемых методик и возможности программ *ECOL*, *TREC*,  
*RIM*, предназначенных для расчета распространения примесей в атмосфере.  
Приведены примеры численных расчетов.

### Введение

Задачам распространения загрязняющих примесей в атмосфере посвящено большое число работ. Отметим лишь некоторые: [1-7] и библиографию к ним. Используя некоторые свойства методик [1-7] и более мощную вычислительную технику, чем та, которая имеется в большинстве организаций СНГ, занимающихся расчетами переноса примесей, авторы разработали методику и создали программу *ECOL* для достаточно точного решения трехмерного уравнения атмосферной диффузии. Вопрос о точности численного решения существен, несмотря на достаточную неопределенность коэффициентов турбулентной диффузии примесей. Разностные методы, основанные на центральной разности и ее монотонных модификациях [8], применяемые в [1] и в [5], дают большую погрешность при больших скоростях ветра и могут проигрывать инженерным методикам или некоторым модификациям метода моментов не только по времени счета, но и по точности получаемых результатов. В ряде случаев точность схем, основанных на центральной разности, просто неприемлема. Модельная задача, иллюстрирующая это утверждение, приведена в разделе 5.

Из разностных методов, практически не допускающих счетного размазывания облака выброса, можно выделить два: метод частиц и метод характеристик [9,10].

Неплохой результат дают и методы Монте-Карло [2,3], о чём говорит и тот факт, что научно-производственное объединение "Тайфун" не ограничилось применением схем с центральной разностью.

Авторы рассмотрели и опробовали как метод характеристик, так и метод частиц. Метод частиц при недостаточном их числе может приводить к нарушению принципа максимума на стадии переноса (стадия диффузии монотонна). Положение края облака определяется с точностью до ячейки. Метод характеристик монотонен, но не-

консервативен, и для его реализации (см. раздел 2), требуется больше, чем для метода частиц, затраты оперативной памяти.

Предпочтение в основном варианте программы *ECOL* было отдано методу частиц.

Все разностные методы имеют общий недостаток: они достаточно дороги. В ряде случаев, например, для плоского рельефа, для мгновенного источника значительно эффективней методы типа метода моментов [7,II], а для задач переноса на большие расстояния – и инженерные методики. В настоящее время во ВНИИТФ эксплуатируются три программы: *RIM* – реализующая инженерную методику, *TREC* – метод моментов, *ECOL* – разностные методики (метод частиц).

### I. Метод частиц (программа *ECOL*)

Распространение загрязняющих примесей в атмосфере описывается следующей системой уравнений:

$$\begin{aligned} \frac{\partial c_m}{\partial t} + \frac{\partial(v_x c_m)}{\partial x} + \frac{\partial(v_y c_m)}{\partial y} + \frac{\partial[(v_z - W_m) c_m]}{\partial z} = \\ = \frac{\partial}{\partial x} \mu \frac{\partial c_m}{\partial x} + \frac{\partial}{\partial y} \mu \frac{\partial c_m}{\partial y} + \frac{\partial}{\partial z} \nu \frac{\partial c_m}{\partial z} + Q, \quad (I) \end{aligned}$$

где  $v_x, v_y, v_z$  – компоненты скорости ветра, зависящие от времени и пространственных координат;  $c_m$  – концентрация аэрозолей диаметром  $d_m$  ( $m$  – я фракция);  $W_m$  – скорость гравитационного осаждения аэрозолей  $m$ -й фракции;  $\mu$  и  $\nu$  – коэффициенты горизонтальной и вертикальной диффузии соответственно. Они вычисляются в соответствии с рекомендациями [12];  $a(x, y, z, t)$  – мощность источника.

Краевые условия берутся так же, как в [1]:

$$\left. \frac{\partial c_m}{\partial z} \right|_{z=0} = f_0 c_m, \quad (f_0 + W_m) - \text{скорость сухого осаждения}; \quad \left. c_m \right|_{z=\infty} = 0.$$

Рельеф учитывается ступенчатой функцией.

Для описания переноса воспользуемся методом расщепления [9]. На первом этапе на каждом шаге

по времени будем решать уравнение переноса

$$\frac{\partial c_m}{\partial t} + \frac{\partial (v_x c_m)}{\partial x} + \frac{\partial (v_y c_m)}{\partial y} = 0 \text{ при всех } z,$$

на втором этапе – уравнение

$$\frac{\partial c_m}{\partial t} + \frac{\partial [(v_x - w_m) c_m]}{\partial z} = \frac{\partial}{\partial x} \mu \frac{\partial c_m}{\partial x} + \frac{\partial}{\partial y} \mu \frac{\partial c_m}{\partial y} + \frac{\partial}{\partial z} \nu \frac{\partial c_m}{\partial z} + Q.$$

Перенос на первом этапе реализуется с помощью частиц в классической форме: вводится прямоугольная сетка, в каждой ячейке в начальный момент заводятся частицы с общей массой, равной массе ячейки, считаются фактические координаты частиц и их местонахождение. Для достаточной точности передачи оседания и загрязненности необходимо, чтобы за шаг по времени частица не проходила больше одной ячейки. Учет скорости оседания перенесен на второй этап, так как  $\frac{w_m h_z}{2}$  ( $h_z$  – шаг по переменной  $z$ ) сравнимо

(или меньше) по величине с  $v$ , что существенно облегчает учет эффектов переноса, и в то же время значительно сокращается число частиц, необходимых для обеспечения монотонности загрязненности подстилающей поверхности.

На втором этапе реализована стандартная явная схема для диффузионного члена. Перенос считается по схеме первого порядка с простейшей антидиффузионной добавкой, не нарушающей монотонности. Добавка уточняет схему первого порядка точности, если  $\frac{w_m h_z}{2}$  сравнимо с  $v$  или меньше  $v$ .

Если точность описания оседания частиц будет недовлетворительной, то можно перенести учет оседания в первый этап и увеличить число частиц.

Массы частиц, находящихся в ячейке после второго этапа, изменяются пропорционально изменению масс ячеек, в которых они находятся.

Если по завершении второго этапа появилась концентрация в ячейке, в которой на предыдущем шаге она была равна нулю, то в этой ячейке заводится новая частица.

Сетка для второго этапа – виллерова прямоугольная, по  $x$ ,  $y$  – предпочтительно равномерная, по  $z$  – произвольная. Выбор равномерной сетки связан только с облегчением интерполяции при перестройке сетки по  $x$  и  $y$ . Сетка сдвигается, следя за положением облака, при необходимости расширяясь (аналогично [1]). Загрязненность выдается на фиксированной сетке.

Программа *EOL* может работать на Э-2 или РС 486 с 16-мегабайтной памятью, при этом на РС для описания аэрозольного облака используется  $\approx 60 \times 60 \times 60$  ячеек. При меньших требованиях к точности описания облака можно использовать и 4-мегабайтную РС 486.

## 2. Метод характеристики

Рассмотренный нами вариант метода характеристик для уравнения (1) физико по идеологии

к методу частиц. Продемонстрируем его на модельном уравнении  $\frac{\partial u}{\partial t} + v \frac{\partial u}{\partial x} = 0$  (рис. I).

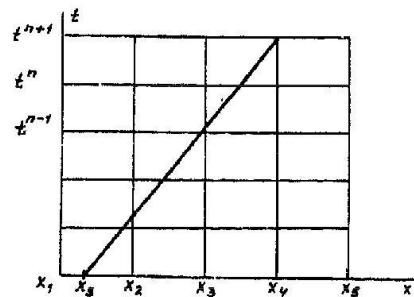


Рис. I. Расчетная сетка

Соотношение на характеристике имеет вид

$$\frac{u^{n+1} - u^n}{\Delta t} = 0,$$

где  $u^n$  – значение искомой функции на конце характеристики в момент времени  $t^n$  в точке  $x_3$ . Точка  $x_3$  лежит между двумя узлами сетки (на рис. I это первый и второй узлы сетки), расстояние между которыми равно  $\Delta x$ . Если  $v \cdot \Delta t > p \cdot \Delta x$ , то, вычисляя  $u^n$  одвигом соответствующего значения из ближайшей точки, получаем погрешность  $\frac{0.5}{n} \cdot 100$ , при  $n = 5$  погрешность в окислости составляет всего 10% (в двумерном случае – по направлению). По сути дела, мы, как и в методе частиц, следим за частицей, показывая ее начальное положение. При  $v \cdot \Delta t > p \cdot \Delta x$  5 модельное уравнение рассчитывается достаточно точно, но возникают трудности при учете оседания и загрязненности.

При малых  $\Delta t$  и больших  $\Delta x$  нужно хранить концентрацию на большом числе слов дополнительного, так как ветер по высоте может меняться в несколько раз. Для метода характеристик выполняется принцип максимума, но при реализации метод требует большую дополнительную память, чем метод частиц, и, кроме того, он неконсервативен.

С учетом оказанного было решено первой рабочей версией программы сделать версию, реализующую метод частиц.

## 3. Программа RIM

Программа *RIM* предназначена для расчета приземных концентраций невесомых загрязняющих примесей в атмосфере, а также загрязнения подстилающей поверхности. Расчеты производятся по формулам модифицированной гауссовой модели для мгновенного либо непрерывного (постоянного по времени) источника. Учитывается обеднение облака загрязняющими примесями за счет сухого осаждения. Входящие в расчетные формулы эффективная высота источника и средняя скорость ветра могут либо задаваться, либо рассчитываться по входной метеинформации и параметрам источника (таким, как мощность взрыва, приведшего к образованию загрязняющего облака, и др.). Ди-

персии, характеризующие окрестность распыления облака вдоль и поперек направления ветра ( $\epsilon_x, \epsilon_y$ ) и по высоте ( $\epsilon_z$ ), вычисляются следующим образом:  $\epsilon(x) = \epsilon^{(0)} + \epsilon^{(1)}(x)$ , где  $\epsilon^{(0)}$  - начальные дисперсии. Для величин  $\epsilon^{(1)}(x)$ , зависящих от класса устойчивости атмосферы и шероховатости подстилающей поверхности, заведена библиотека, включающая в себя данные Гиффорда и формулы Смита-Хоксера.

#### 4. Программа TREC

Программа *TREC* основана на использовании метода моментов [II]. Решение трехмерного уравнения атмосферной диффузии записывается в обобщенной гауссовой форме, а для входящих в нее параметров решается система дифференциальных по  $x$  и  $t$  уравнений\*. Полученные методом моментов уравнения решаются методом частиц.

Программа *TREC* предназначена для оперативных расчетов распространения полидисперсной примеси в атмосфере от мгновенного источника. Имеется также возможность моделирования длительно действующего источника как последовательности мгновенных.

В программе учитываются перенос аэрозолей произвольно заданным нестационарным ветровым полем, турбулентная диффузия и гравитационное осаждение. Имеется возможность задания стандартного ветрового поля в атмосферном пограничном слое, соответствующего определенным погодным условиям. В этом случае входной метеоинформацией служат время года, класс устойчивости атмосферы, скорость ветра на высоте флагера и шероховатость подстилающей поверхности. Рассчитывается осаждение полидисперсной примеси на подстилающую поверхность, которая считается плоской с кусочно-постоянной скоростью сухого осаждения.

Применяемый математический метод отличается высокой эффективностью и свободен от численной диффузии. Вывод результатов расчетов осуществляется в виде таблиц и графиков.

#### 5. Примеры численных расчетов

Задача I. Продемонстрируем низкую точность различных схем с односторонней разностью и даже с центральной разностью, а также схемы В.О.Ильина [8] при описании ветрового переноса примесей в атмосфере. С этой целью рассмотрим простейшую одномерную задачу Коши для уравнения переноса

$$\frac{\partial c}{\partial t} + v \frac{\partial c}{\partial x} = 0$$

\*Такой подход к решению уравнения атмосферной диффузии использовался ранее В.В.Судаковым.

с заданным начальным распределением

$$c(x, 0) = \frac{q}{\epsilon_x^3 \sqrt{2\pi}^3} \cdot \exp \left\{ -0,5 \cdot \left( \frac{x-10}{\epsilon_x} \right)^2 \right\},$$

где  $q$ ,  $\epsilon_x$  - заданные константы. Данное распределение является типичным в задачах распространения примесей в атмосфере. Решалась задача со следующими входными данными:  $v = 40$  км/ч,  $q = 10$  Ки,  $\epsilon_x = 0,3$  км.

Результаты расчетов по схеме Ильина, по схемам с центральной и односторонней разностью на Момент времени  $t = 0,25$  ч приведены на рис. 2, а, б, в соответственно. Как видно из рисунков, уже через 0,25 ч счетное размазывание переносимого профиля весьма велико. Еще более катастрофично размазывание на момент времени 1 ч (рис. 3, а, б, в). Из рис. 4 видно, что даже самая лучшая из рассматриваемых схем - схема из [8] - на момент времени 2 ч дает неудовлетворительные результаты. Для сравнения на графиках приведена кривая решения, полученная с помощью метода частиц: она полностью совпадает с точным решением.

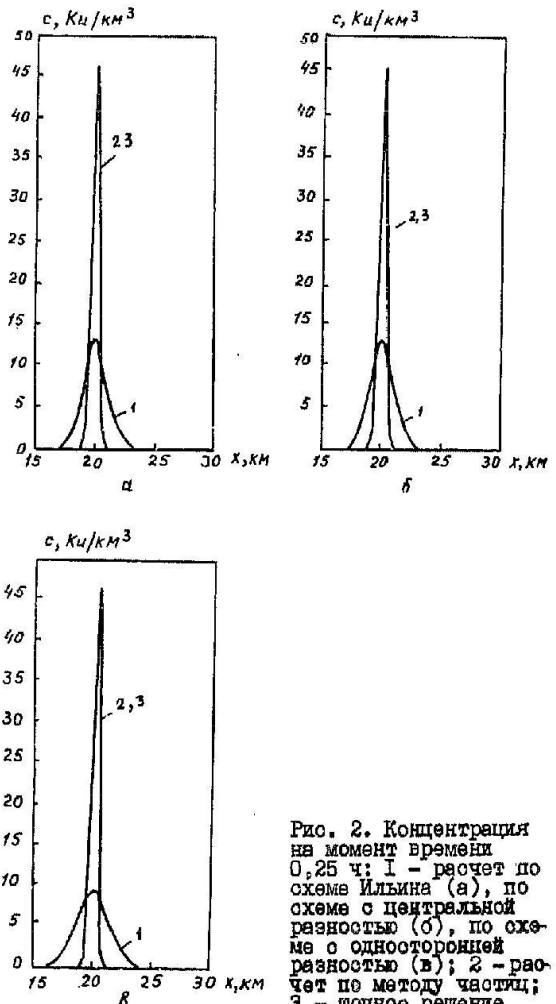


Рис. 2. Концентрация на момент времени 0,25 ч: 1 - расчет по схеме Ильина (а), по схеме с центральной разностью (б), по схеме с односторонней разностью (в); 2 - расчет по методу частиц; 3 - точное решение

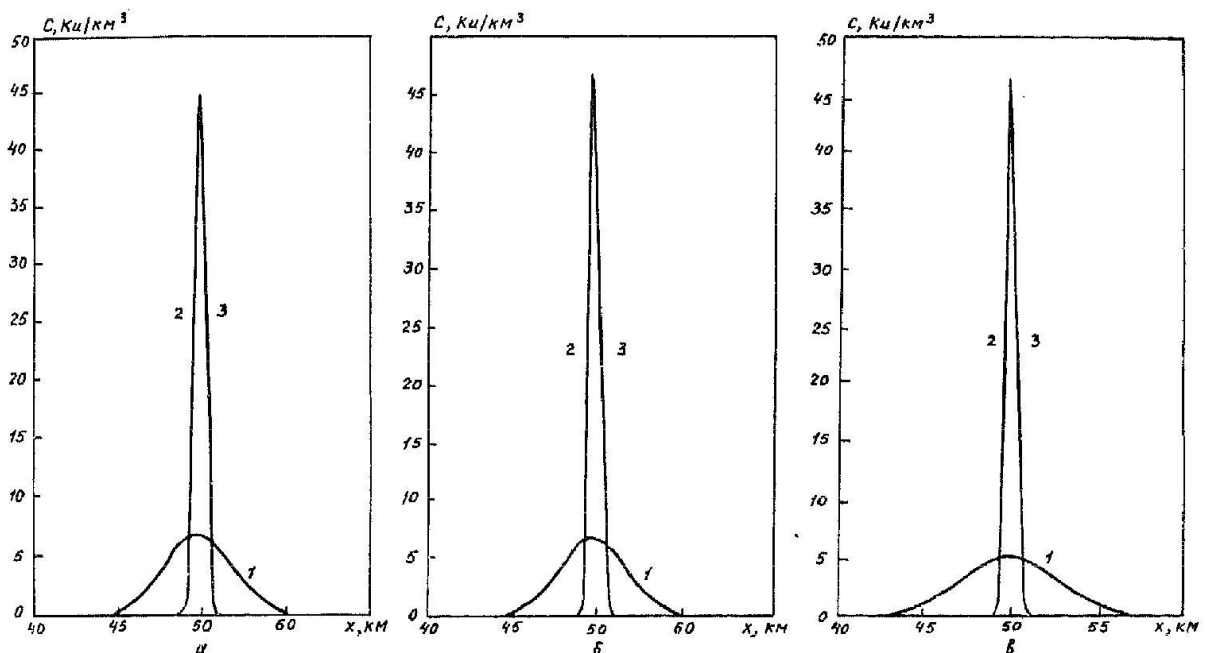


Рис. 3. Концентрация на момент времени 1 ч: 1 - расчет по схеме Ильина (а), по схеме с центральной разностью (б), по схеме с односторонней разностью (в); 2 - расчет по методу частиц; 3 - точное решение

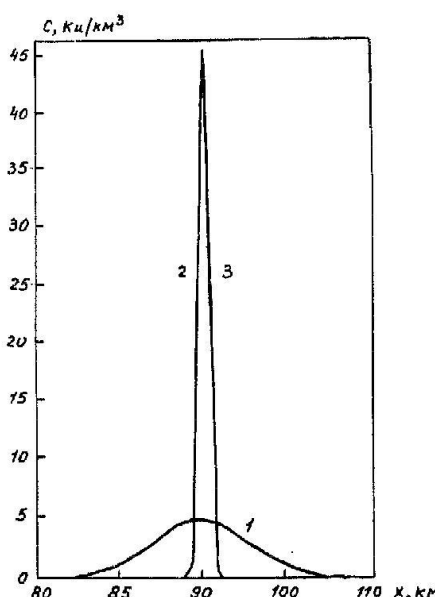


Рис. 4. Концентрация на момент времени 2 ч: 1 - расчет по схеме Ильина; 2 - по методу частиц; 3 - точное решение

**Задача 2.** Для проверки работоспособности программы *ECOL* была сосчитана модельная задача: задан плоский рельеф, одна фракция примеси, одна область для коэффициентов дифузии. Горизонтальный коэффициент турбулентной диффузии  $\mu = 0,14 \text{ км}^2/\text{ч}$ , вертикальный коэффициент диффузии  $v = 0,072 \text{ км}^2/\text{ч}$ , окорость ветра  $U = 10 \text{ м/с}$ , азимут  $\varphi = 270^\circ$ , коэффициент в граничном условии  $\beta_0 = 0,036 \text{ км}/\text{ч}$ . Вертикальная скорость

оседания примеси  $w_k = 1,88 \text{ км}/\text{ч}$ , что соответствует диаметру аэрозолей  $\approx 100 \text{ мкм}$  при плотности  $\approx 2 \text{ г}/\text{см}^3$ . Начальное распределение концентраций задано формулой

$$C = \frac{Q}{\sqrt{8\pi^3 \sigma_x \sigma_y \sigma_z}} \exp\left(-\frac{x^2}{2\sigma_x^2} - \frac{y^2}{2\sigma_y^2} - \frac{(z-z_0)^2}{2\sigma_z^2}\right).$$

Высота источника  $z_0 = 0,5 \text{ км}$ ,  $\sigma_x = \sigma_y = 0,3 \text{ км}$ ,  $\sigma_z = 0,2 \text{ км}$ ,  $Q = 60000 \text{ кг}$ .

Распределение загрязненности вдоль оси слоя приведено на рис. 5.

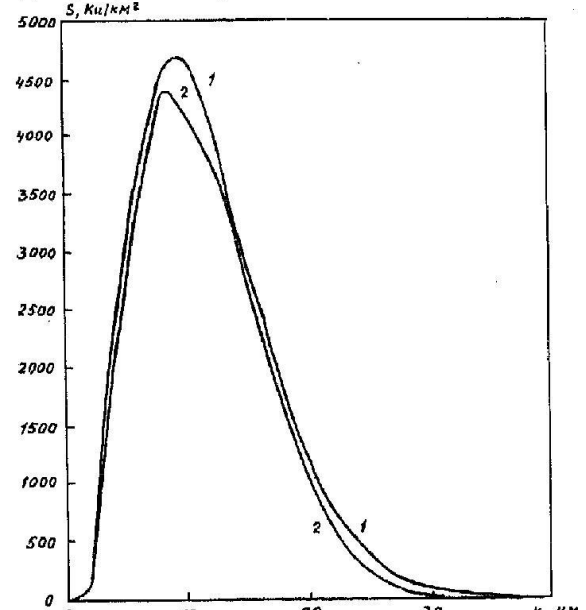


Рис. 5. Загрязненность на момент времени 1 ч: 1 - расчет по методу частиц; 2 - по методу моментов;  $x_{max} = 9,6$ ;  $C_{max} = 4671$

**Задача 3.** Коэффициенты диффузии, скорость и направление ветра определялись из [12]. Ветер задан на высоте флюгера: скорость – 5 м/с, направление – 246°, четвертый класс устойчивости атмосферы, теплое время года. Рассчитывалось 20 фракций примеси. Начальное распределение концентрации аэрозолей каждой фракции задавалось формулой, аналогичной используемой в задаче 2. Высота источника  $Z_u = 0,7$  км, суммарная активность  $\theta = \sum \theta_m = 60000$  Ки, рельеф плоский, коэффициент сухого осаждения  $\beta = 0,036$  км/ч,  $\sigma_x = \sigma_y = \sigma_z = 0,1$  км,  $\sigma_m$  – активность аэрозолей  $m$ -й фракции, рассчитываемая по усеченному логнормальному закону с медианным распределением  $\sigma'_m = 75$  мкм, дисперсией распределения 0,18. Средние диаметры

частиц во фракциях [мкм]: 5, 15, 25, 35, 45, 55, 65, 75, 85, 95, 110, 130, 150, 170, 190, 210, 230, 250, 270, 290. Соответствующие значения  $\theta_m$  равны: 0,0354; 42,96; 770,26; 3072,6; 5962,4; 7876,4; 8329,3; 7682,7; 6490,9; 5174,8; 6929,3; 3743,8; 1937,9; 986,83; 501,48; 256,32; 13,237; 69,22; 36,71; 19,75.

Такая постановка задачи приближенно моделирует образование Восточно-Уральского радиационного следа (ВУРС).

На графиках приведены загрязненности вдоль оси следа, полученные по программе TREC (рис. 6, а, б) и ECOL (рис. 6, в, г), в сравнении с экспериментальными данными.

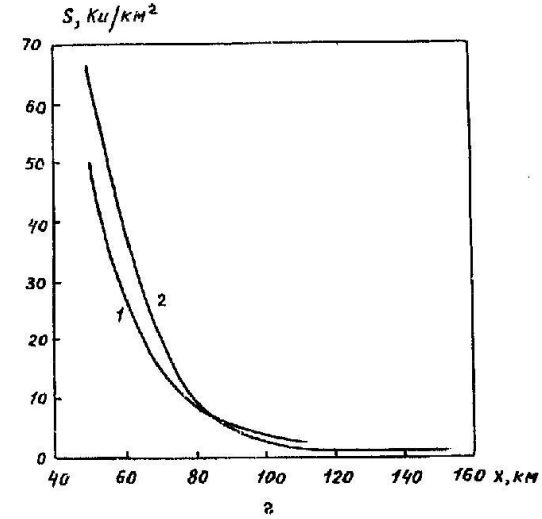
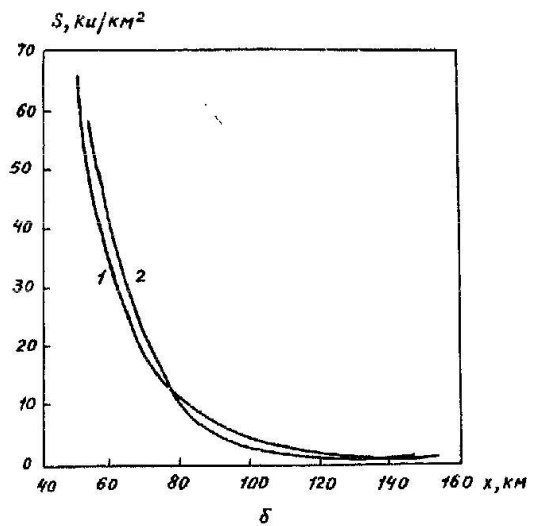
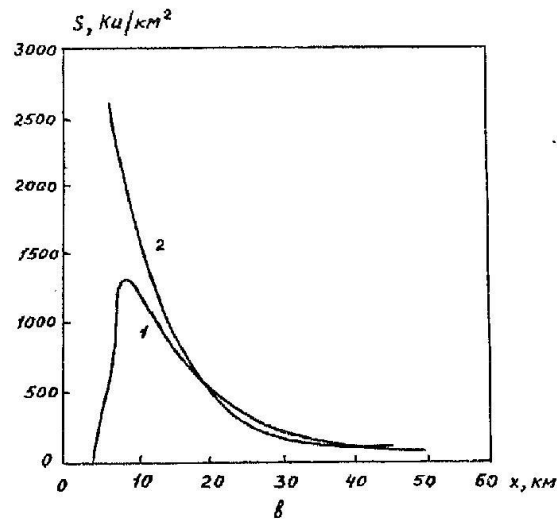
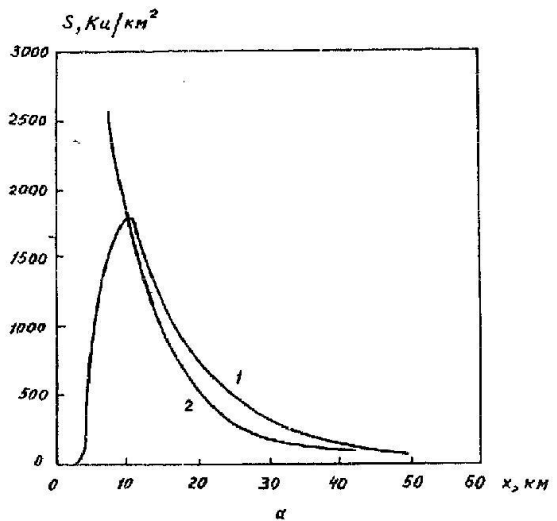


Рис. 6. Загрязненность вдоль оси следа: I – расчет по программе TREC (а, б), по программе ECOL (в, г); 2 – экспериментальные данные

## Список литературы

1. Борзилов В.А., Вельтищева Н.С., Клепиков Н.В. и др. Региональная модель переноса полидисперсной примеси// Метеорология и гидрология. 1988, № 4.

2. Кандиев Я.З., Куропатенко Э.С., Лифанова И.В. и др. Расчет методом Монте-Карло взаимодействия частиц с веществом в программе ПРИЗМА// Тез.докл. З-й Все-научной конференции по защите от ионизирующих излучений ядерно-технических установок. 27-29 октября 1981. Тбилиси, 1981. С. 24.

3. Иванов Н.В., Пискунов В.Н. Моделирование процессов переноса и осаждения аэрозольных частиц методом Монте-Карло// Вопросы атомной науки и техники. Сер. Математическое моделирование физических процессов. 1991. Вып. 2. С. 73-78.

4. Чернобыль: радиоактивное загрязнение природных сред // Под ред. Ю.А.Исаэля. Л.: Гидрометеиздат, 1990.

5. Марчук Г.И. Математическое моделирование в проблеме окружающей среды. М.: Наука, 1982.

6. Певенко В.В. Методы численного моделирования атмосферных процессов. Л.: Гидрометеиздат, 1981.

7. Косяриков А.А. Модель дальнего переноса примеси// Метеорология и гидрология. 1988, № 11.

8. Ильин В.О. Анализ конечно-разностных схем численного решения уравнения адvectionи// Там же. № 6.

9. Анучина Н.Н., Еабенко К.И., Годунов С.К. и др. Теоретические основы и конструирование численных алгоритмов задач математической физики. М.: Наука, 1979.

10. Lange R. ADPIC - A three-dimensional particle-in-cell model for the dispersion of atmospheric pollutants and its comparison to regional tracer studies// J. Appl. Meteor. 1978. Vol. 17. P. 320-329.

11. Монин А.С., Иглом А.М. Остаточная гидромеханика. М.: Наука, 1965.

12. Атмосфера. Справочник // Под ред. Ю.С.Седунова. Л.: Гидрометеиздат, 1991.

Статья поступила в редакцию II.II.93.